

Théorème de Sydler

Théorème [Sydler 1965; Jessen 1968]

Deux polyèdres de l'espace euclidien sont équivalents par décomposition si, et seulement si, ils ont même volume et même invariant de Dehn.

Cadre: \mathbb{R}^3 espace affine euclidien

- polyèdre : réunion finie de simplexes dans \mathbb{R}^3
- simplexe de dimension d : $[s_0, s_1, \dots, s_d] = \left\{ \sum_{i=0}^d c_i s_i ; c_i \geq 0, \sum_{i=0}^d c_i = 1 \right\}$ (ce d-simplexe)

$\overbrace{s_0, s_1, s_2, \dots, s_d}^{\text{points de } \mathbb{R}^3 \text{ t. q.}} \overbrace{\text{barycentre}}^{\text{barycentre}} = \text{enveloppe convexe de } (d+1) \text{ pt}$

- SC:
 0-simplexe = point
 1-simplexe = intervalle
 2-simplexe = triangle
 3-simplexe = tétraèdre

Def: Un polyèdre est dit dégénéré si tous ses simplexes sont de dimension < 3 .

Exemple: Un cube peut se décomposer en un polyèdre P et P' qui sont isométriques. S'ils admettent des décompositions $P = P_1 \cup \dots \cup P_n$ et $P' = P'_1 \cup \dots \cup P'_m$ t.q. $\forall i, P_i$ et P'_i sont isométriques (c'est à dire qu'il existe une isométrie g_i t.q. $P'_i = g_i(P_i)$)

. Le volume d'un 3-simplexe $[s_0, s_1, s_2, s_3]$ est égal à $\frac{1}{3!} |\det(s_0, s_1, s_2, s_3)|$; les volumes des d -simplexes pour $d < 3$ sont nuls. On montre que le ratio de volume s'etend aux polyèdres et vérifie les conditions suivantes

$$\alpha V(P \cap P') + V(P \cup P') = V(P) + V(P')$$

Prisme: solide géométrique

défini par deux polyèdres (base)

images d'un et l'autre par

une translation les bases sont

relées entre elles par la H.B. (hypothèse).

Def: Un invariant de décomposition I est une application $I: \{ \text{Polyèdres de } \mathbb{R}^3 \} \rightarrow A$

qui vérifie les 3 conditions suivantes, les calculs se font dans un groupe additif A (par $V, A = (\mathbb{R}^*, +)$). Cela revient à demander que I induise un morphisme de groupes

$$I: \mathcal{B} \rightarrow A$$

Définition (Invariant de Dehn)

Si P est un polyèdre de \mathbb{R}^3 on pose $D(P) = \sum_{a \text{ arête de } P} |a| \otimes s_a \in \mathbb{R} \otimes_{\mathbb{Z}} (\mathbb{R}/\pi)$

où $|a|$ est la longueur de l'arête a et s_a son angle dièdre :

si \vec{u}_1 et \vec{u}_2 sont les vecteurs normaux unitaires des deux faces adjacentes à l'arête a et pointant vers l'extérieur du polyèdre alors $s_a = \arccos(\vec{u}_1 \cdot \vec{u}_2) \in \mathbb{R}/\pi$

Notation:

- \mathcal{B} groupe abélien engendré par les polyèdres P
- et avec relations
- $[P] = 0$ si P dégénéré
- $[P \cup P'] = [P] + [P']$ si $P \cap P' = \emptyset$
- $[g(P)] = [P]$ si g est une isométrie

III

Démonstration de th. de Sydler :

Il faut démontrer $V(P) = V(P') \text{ et } D(P) = D(P') \Rightarrow P \sim P'$

On admet que $[P] = [P'] \Rightarrow P \sim P'$ (Sydler 1943; généralisé au h'th dimension par Ziegler en 1968)

ce qui nous ramène à démontrer l'injectivité

du morphisme $\beta \xrightarrow{V(P)} \mathbb{R} \times \mathbb{R} \otimes_{\mathbb{Z}} \mathbb{R}_{\text{H}}$
 $P \mapsto (V(P), D(P))$

en se ramenant aux cubes

1^{ère} étape : réduction du pb à un e.v."

On note Z le sous-groupe de β engendré par les prismes ; $D(Z) \subseteq 0$

donc D induit un morphisme de groupes $\bar{D}: S/Z \rightarrow \mathbb{R} \otimes_{\mathbb{Z}} \mathbb{R}_{\text{H}}$

puisque $V|_Z$ est injective (décomposition d'un prisme en cube de même volume)

il reste donc à démontrer que \bar{D} est injective.

Cette réduction du pb a un second intérêt :

Lemme A: L'action de \mathbb{R}^* sur β via $t \cdot [P] = \begin{cases} [tP] & si t > 0 \\ -[tP] & si t < 0 \end{cases}$
 définit une structure d' \mathbb{R} -espace vectoriel sur S/Z .

Démonstration :

• Z stable par l'action donc \mathbb{R} agit sur S/Z .

• $\forall t \in]0, 1[$ on a $[P] = t \cdot [P] + (1-t) \cdot [P]$ dans S/Z

il suffit de le vérifier sur les tétraèdres : cf. démpage 1 feuille jointe.

• cela permet de démontrer la distributivité

$$(t_1 + t_2) \cdot [P] = t_1 \cdot [P] + t_2 \cdot [P]$$

• la distributivité $t \cdot ([P] + [Q]) = t[P] + t[Q]$ est immédiate. \square

Fin de l'exposé 1

2^{ème} étape : $a, b, c \in]0, 1[$. $X_{a,b,c} = T(a, b) + T(ab, c)$

"Le cocycle T ...
 est un cobord"

ont même volume et même invariant de Dehn $(ab - (a)x(b) + ab(x(b) - ab(x(a))) \otimes \gamma$
 $- ab(x(a) - ab(x(b))) \otimes (ax(c)\gamma))$

Un argument géométrique (cf. Jessen pp 248-249) permet

de démontrer mieux : $X_{a,b,c} \sim Y_{a,b,c}$.

IV

Cela permet de "voir que l'application $[0,1]^2 \rightarrow \mathbb{Z}/2$ (avec $T(a,b) = 0$ si $a,b \in \mathbb{Z}$)

$$(a,b) \mapsto [T(a,b)] \quad [T(1,1)] = 0$$

satisfait une relation de 2-cocycle pour le monoïde multiplicatif $[0,1]$:

$$[T(a,b)] + [T(ab,c)] = [T(a,c)] + [T(ac,b)] \quad (\text{égalité dans } \mathbb{Z})$$

On en déduit une "extension" de monoïdes

$$0 \rightarrow \mathbb{Z}/2 \rightarrow W_0 \rightarrow [0,1] \rightarrow 1 \quad \text{avec} \quad \begin{cases} W_0 = [0,1] \times \mathbb{Z}/2 \\ (a,b).(b,c) = (ab, P+Q-T(a,b)) \end{cases}$$

Le monoïde W_0 est simplifiable ($(a,P).(b,Q) = (a,P).(c,R) \Rightarrow b=c$ et $Q=R$)
(dans $W_0 \subset W$)
 et se projette sur un groupe (groupe des fractions) W qui s'inscrit dans une suite exacte:

$$0 \rightarrow \mathbb{Z}/2 \rightarrow W \rightarrow \mathbb{R}^{*+} \rightarrow 1 \quad \begin{aligned} \left(\frac{a}{b} = 1 \Rightarrow \frac{(a,P)}{(b,Q)} = \frac{(a,P)}{(a,Q)} = \frac{(1,P-a)}{(1,0)}\right) \\ \frac{(a,b)}{(b,c)} \mapsto \frac{a}{b} \\ P \mapsto \frac{(1,P)}{(1,0)} \end{aligned}$$

$$\begin{aligned} & \text{car } (1,Q).(1,P-a) \\ & = (a, Q+(P-a)+T(a,1)) \end{aligned}$$

Puisque $\mathbb{Z}/2$ est un \mathbb{R} -espace, c'est un groupe abélien divisible et, donc, cette suite exacte est scindée :

Il existe une section $\delta : \mathbb{R}^{*+} \rightarrow W$.

Pour $a \in [0,1]$ on pose $\delta(a) = (a, -U(a))$ ce qui définit une application $U : [0,1] \rightarrow \mathbb{Z}/2$.

Lemme B : $T(a,b) = U(a) + U(b) - U(ab)$

(rem : cela dit que l' \mathbb{R} -2-cocycle $T(-,-)$ est en fait un cobord !)

Démonstration :

$$(ab, U(ab)) = \delta(ab) = \delta(a)\delta(b) = (a, -U(a)).(b, -U(b)) = (ab, U(a) + U(b) - T(a,b))$$

II

$$D(ABCO) = 6 \text{ termes}$$

$$D(ABCJ) + D(ABDI) = 12 \text{ termes}$$

- 2 avec $|AB| \alpha - \text{dans } O$

- 2 - $|IB| \alpha -$

- 2 termes $|CI| \alpha |ID| \alpha$ s'obtient

- 2 termes avec $|AC| \alpha |BD| \alpha$ s'obtient

Proposition : D est un invariant de découpage.

Démonstration : il suffit de vérifier l'^{odd/even} lorsque P et P' sont des tétraèdres avec une face commune qui décompose un tétraèdre i.e. $D(P) = D(P_1) + D(P_2)$ lorsque P est un tétraèdre découpé par deux tétraèdres P_1 et P_2 d'intersection vide.

(cf. feuille jointe).

Remarque D est un invariant car $D(E, P) = (1_E \otimes I)D(P)$ (la longueur de arêtes et angles pour la hauteur de P par rapport à E)

Exemples.

. C un cube unité : 12 arêtes et angles dièdes droits

$$\text{d'où } D(C) = 12 \otimes \frac{\pi}{2} = 6 \otimes \frac{\pi}{2} = 0 \in \mathbb{R} \otimes \mathbb{R}/\pi \text{ (ici on prend les puces)}$$

. T tétraèdre régulier de l'ordre 1 : 6 arêtes et angles dièdes $\cos(\frac{1}{3})$

$$\text{d'où } D(T) = 6 \otimes \frac{\theta}{\pi} \neq 0 \in \mathbb{R} \otimes \mathbb{R}/\pi \quad \begin{array}{l} \text{puisque } \theta \text{ est multiple de } \frac{2\pi}{3} \\ \text{utiliser } \cos(\theta) = \frac{1}{2}(1 + \cos(2\theta)) \end{array}$$

Alors T n'est pas équivalent par découpage
au cube de même volume.

. Si P est un prisme alors $D(P) = 0$ (car renfermant aucune)

. $T(a, b) =$ tétraèdre $ABCD$ dont les arêtes AB de longueur $\sqrt{\frac{1}{a} - 1} = \cotan(\alpha)$,

$$a \in]0, 1[\quad a = \sin^2(\alpha) \text{ avec } \alpha \in]0, \frac{\pi}{2}[$$

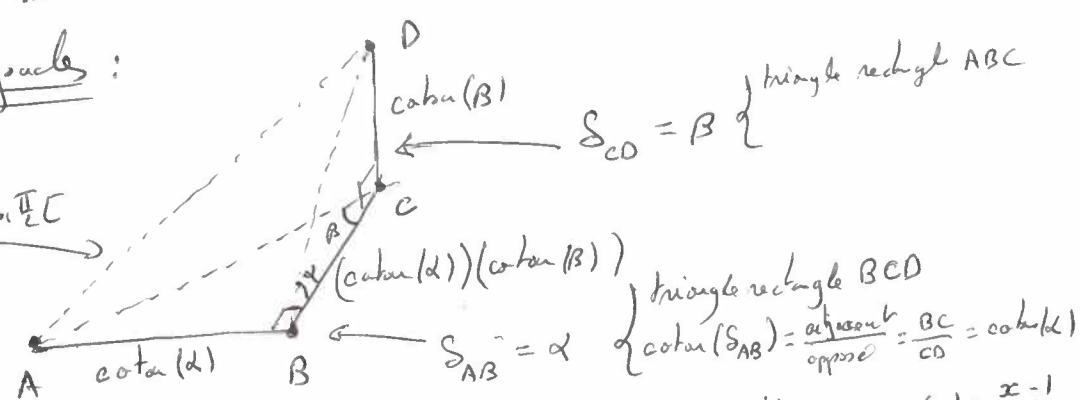
$$b \in]0, 1[\quad b = \sin^2(\beta) \quad \beta \in]0, \frac{\pi}{2}[$$

$$(\cotan(\alpha))^2 = \frac{\cos^2(\alpha)}{\sin^2(\alpha)} = \frac{1 - \sin^2(\alpha)}{\sin^2(\alpha)} = \frac{1}{a} - 1$$

$$CD \text{ de longueur } \sqrt{\frac{1}{b} - 1} = \cotan(\beta),$$

et BC de longueur $AB \times CD$

soit orthogonal :



$$S_{AD} = \frac{\pi}{2} - \alpha * \beta \in]0, \frac{\pi}{2}[$$

$$\text{ou } \sin^2(\alpha * \beta) = ab$$

Exercice:

$$\left\{ \begin{array}{l} N(T(a, b)) = v(a) + v(b) - v(ab) \text{ avec } v(x) = \frac{x-1}{8x} \\ D(T(a, b)) = \cotan(\alpha) \otimes a + \cotan(\beta) \otimes b - \cotan(\alpha * \beta) \otimes ab \\ = + \cotan(S_{AB}) \otimes S_{AB} \end{array} \right.$$

Les invariants de $T(a, b)$ sont :

V

3^{ème} étape: "de propre à (barycentre)"

$$G: \mathbb{R}^{+*} \times \mathbb{R}^{+*} \longrightarrow \mathbb{R}/\mathbb{Z}$$

$$(a, b) \longmapsto a \cdot U\left(\frac{a}{ab+c}\right) + b \cdot U\left(\frac{b}{ab+c}\right) \quad (\text{formule barycentre})$$

Lemme C : G vérifie la relation de 2-cocycle (additif)

$$\boxed{G(a,b) + G(a+b,c) = G(a,c) + G(a+c,b)}$$

Démonstration : abrégant α une racine de T que les sommets géométriques :

$$\bullet \quad \cancel{(a \cdot U\left(\frac{a}{ab+c}\right) + b \cdot U\left(\frac{b}{ab+c}\right) + (a+b) \cdot U\left(\frac{a+b}{ab+c}, c\right) + c \cdot U\left(\frac{c}{ab+c}\right)} = \text{cas où échange } b \text{ et } c$$

Si on démontre (*) (cf. feuille jointe) alors le lemme B donne

$$a \left(U\left(\frac{a+b}{ab+c}\right) + U\left(\frac{a}{ab+c}\right) - U\left(\frac{a}{ab+c}\right) \right) + b \left(U\left(\frac{a+b}{ab+c}\right) + U\left(\frac{b}{ab+c}\right) - U\left(\frac{b}{ab+c}\right) \right)$$

$$= a \left(U\left(\frac{a+c}{ab+c}\right) + U\left(\frac{c}{ab+c}\right) - U\left(\frac{c}{ab+c}\right) \right) + c \left(U\left(\frac{a+c}{ab+c}\right) + U\left(\frac{c}{ab+c}\right) - U\left(\frac{c}{ab+c}\right) \right)$$

que l'on peut réarranger en

$$\left[a \cdot U\left(\frac{a}{ab+c}\right) + b \cdot U\left(\frac{b}{ab+c}\right) \right] + \left[(a+b) \cdot U\left(\frac{a+b}{ab+c}\right) + c \cdot U\left(\frac{c}{ab+c}\right) \right]$$

$$= \left[a \cdot U\left(\frac{a}{ab+c}\right) + c \cdot U\left(\frac{c}{ab+c}\right) \right] + \left[(a+c) \cdot U\left(\frac{a+c}{ab+c}\right) + b \cdot U\left(\frac{b}{ab+c}\right) \right] \text{ car } a+b=c+a$$

(cf. découpage 2)

• reste à démontrer (*) géométriquement (cf. découpage 2)

Avec $OA^2 = bc$, $OB^2 = ca$ et $OC^2 = ab$ on trouve $H = \text{bar}\{(A, \frac{a}{ab}), (B, \frac{b}{ab}), (C, \frac{c}{ab})\}$

Il vient $BH^2 = a^2 \left| \frac{c}{ab} \right|$, $OH^2 = \frac{abc}{ab} = a^2 \left| \frac{bc}{a(ab)} \right|$ et $OC^2 = ab = a^2 \cdot \left| \frac{b}{a} \right|^2$

d'où $OCBH = a \cdot T\left(\frac{a+b}{ab+c}, \frac{a}{ab}\right)$ car $\left| \frac{c}{ab+1} \right| = \frac{ab}{ab+c}$, $\left| \frac{b}{a+1} \right| = \frac{a}{ab}$.

De même $OCAH = b \cdot T\left(\frac{a+b}{ab+c}, \frac{b}{ab}\right)$ (échange $a \leftrightarrow b$) $\left| \frac{c}{ab+1} \right| = \frac{1}{a} \cdot BH$, $\left| \frac{a}{b+1} \right| = \frac{b}{ab}$.

D'où : $OABC = a \cdot T\left(\frac{a+b}{ab+c}, \frac{a}{ab}\right) + b \cdot T\left(\frac{a+b}{ab+c}, \frac{b}{ab}\right)$.

Enfin, en échangeant $B \leftrightarrow C$: $OABC = a \cdot T\left(\frac{a+c}{ab+c}, \frac{a}{ac}\right) + c \cdot T\left(\frac{a+c}{ab+c}, \frac{c}{ac}\right)$. \square

VI

Le 2-cocycle G permet de définir un monoïde additif commutatif $\frac{(G(a,b)=G(b,a))}{\text{pour tous } a,b}$

$$\text{sur } \mathbb{R}_+^* \times \mathbb{S}/\mathbb{Z} : (a, \rho) + (b, \varrho) = (a+b, \rho+\varrho-G(a,b))$$

Cette structure s'étend sur $\mathbb{R} \times \mathbb{S}/\mathbb{Z}$ (groupe engendré par le monoïde)

Parce que $G(\lambda a, \lambda b) = G(a, b)$ pour $\lambda > 0$ et que \mathbb{S}/\mathbb{Z} est un \mathbb{R} -cou

on obtient une structure de monoïde avec produit sur A par

$$(a, \rho) \cdot (b, \varrho) = (ab, \rho + a\varrho)$$

qui est distributif par rapport à $+$. Avec ces structures A est

un anneau et $I = \{(0, \rho); \rho \in \mathbb{S}/\mathbb{Z}\}$ est un idéal de carrière et $A/I \cong \mathbb{R}$.

L'extension $0 \rightarrow I \rightarrow A \xrightarrow{\begin{smallmatrix} \rho \\ 2\pi \end{smallmatrix}} A/I \rightarrow 0$ admet

\mathbb{R}

une section d'anneaux (cf. Bourbaki, Algèbre commutative IX)

$$\sigma : \mathbb{R} \rightarrow A$$

Pour $a \in \mathbb{R}^{*+}$ on pose $\sigma(a) = (a, aH(a))$ ce qui définit

$$\boxed{H : \mathbb{R}^{*+} \rightarrow \mathbb{S}/\mathbb{Z}} \quad \text{vérifiant :}$$

$$\boxed{G(a,b) = aH(a) + bH(b) - (a+b)H(a+b)} \quad (\text{car } \sigma \text{ additive})$$

$$\boxed{H(ab) = H(a) + H(b)} \quad (\text{car } \sigma \text{ multiplicative}).$$

4ème et dernière étape : "construction d'une section à $\bar{D} : \mathbb{S}/\mathbb{Z} \rightarrow \mathbb{R}/\pi\mathbb{Z}$ "

On définit $\varphi : \mathbb{R}/\pi\mathbb{Z} \rightarrow \mathbb{S}/\mathbb{Z}$ par $\varphi(\alpha) = \begin{cases} \tan(\alpha) & \text{si } \alpha \neq 0 \text{ mod } \pi/2 \\ 0 & \text{si } \alpha = 0 \text{ mod } \pi/2 \end{cases} [U(\sin^2(\alpha)) - H(\sin^2(\alpha))]$.

~~Ensuite on prolonge \mathbb{S}/\mathbb{Z} par le \mathbb{R} -cou~~

~~par $(\varphi \otimes U)(H(a,b)) = \text{morphisme de groupes additifs}$ que l'on obtient par~~

~~\mathbb{R} -linéarité~~ $\Phi : \mathbb{R} \otimes_{\mathbb{Z}} \mathbb{R}/\pi\mathbb{Z} \rightarrow \mathbb{S}/\mathbb{Z}$ en utilisant la structure de \mathbb{R} -cou sur \mathbb{S}/\mathbb{Z} .

$$\text{On a : } \Phi \circ \bar{D}(T(a,b)) = \Phi((\cotan(a) \otimes a + \cotan(b) \otimes b - \cotan(a+b) \otimes (a+b))) \quad (\text{cf. page 102})$$

$$= \cotan(a)\varphi(a) + \cotan(b)\varphi(b) - \cotan(a+b)\varphi(a+b)$$

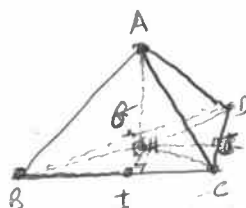
$$\stackrel{\begin{array}{l} \sin^2 a = a \\ \sin^2 b = b \\ \sin^2(a+b) = ab \end{array}}{=} (U(a) - H(a)) + (U(b) - H(b)) - (1 - \frac{1}{ab})(U(1-ab) - H(1-ab)) \\ = U(a) + U(b) - H(ab) + \frac{1}{ab} [(1-ab)(U(1-ab) - H(1-ab))]$$

VII

- 7ème et dernière étape : construction d'une section à $\bar{\Phi}: S/\mathbb{Z} \rightarrow \mathbb{R} \otimes_{\mathbb{Z}} \mathbb{R}\Gamma$
- $\bar{\Phi}: \mathbb{R} \otimes_{\mathbb{Z}} \mathbb{R}\Gamma \rightarrow S/\mathbb{Z}$ t.q. $\bar{\Phi} \circ \bar{\Phi} = \text{id}_{S/\mathbb{Z}}$ $\Leftrightarrow \exists \varphi: \mathbb{R} \rightarrow S/\mathbb{Z}$ (t.q. $\bar{\Phi}(1 \otimes x) = \varphi(x)$)
 $\varphi(\alpha + \beta) = \varphi(\alpha) + \varphi(\beta)$, $\varphi(\pi) = 0$
 avec $\text{coker}(\alpha) \cdot \varphi(\alpha) + \text{coker}(\beta) \cdot \varphi(\beta) - \text{coker}(\alpha * \beta) \cdot \varphi(\frac{\pi}{2} - \alpha * \beta)$
 $\stackrel{(1)}{=} T(a, b)$

car un tel φ s'étend par \mathbb{R} -linéarité au $\bar{\Phi}$ qui vérifiera $(\bar{\Phi} \circ \bar{\Phi})(1 \otimes x) = T(a, b)$
 et, par \mathbb{R} -linéarité, $\bar{\Phi} \circ \bar{\Phi} = \text{id}_{S/\mathbb{Z}}$ puisque S/\mathbb{Z} est un \mathbb{R} -espace vectoriel engendré par les $T(a, b)$:

S est un groupe abélien engendré par les tétraèdres et chaque tétraèdre peut se décomposer en six tétraèdres binormaux égaux à des $T(a, b)$:



$$\begin{aligned} & (\text{il y a des différences si } H \text{ est supérieur à } BCD) \\ T = & ABIH + ACJH + ADKH + ADGH + ABGH \end{aligned}$$

où chaque $AXYH$ est égal à un $\lambda T(a, b)$

Ainsi le \mathbb{R} -espace vectoriel S/\mathbb{Z} est engendré par les classes des $T(a, b)$.

- on définit $h: [0, 1] \rightarrow S/\mathbb{Z}$ par $h(a) = U(a) - H(a)$

Lemme D

- $\text{(i)} T(a, b) = h(a) + h(b) - h(ab)$ et
- $\text{(ii)} \text{si } a+b=1 \text{ alors } ah(a) + bh(b) = 0$

on définit $\varphi: \mathbb{R} \rightarrow S/\mathbb{Z}$ par

$$\varphi(a) = \begin{cases} \tan(a), h(\sin^2(a)) & \text{si } a \neq 0 \in \mathbb{Z} \\ 0 & \text{si } a = 0 \in \mathbb{Z} \end{cases}$$

Lemme E: $\left. \begin{array}{l} \alpha + \beta + \gamma = \pi \\ \alpha, \beta, \gamma \in [0, \pi] \end{array} \right\} \Rightarrow \varphi(\alpha) + \varphi(\beta) + \varphi(\gamma) = 0$

i. Pour $T(a, b)$ on a $\sin^2(a) = a$, $\sin^2(b) = b$ et $\sin^2(\alpha * \beta) = ab$, d'où
 $\text{coker}(\alpha) \cdot \varphi(\alpha) + \text{coker}(\beta) \cdot \varphi(\beta) - \text{coker}(\alpha * \beta) \cdot \varphi(\frac{\pi}{2} - \alpha * \beta) = h(a) + h(b) - (1 - \frac{ab}{a}) h(1 - ab)$
 $= h(a) + h(b) - h(ab)$ par (ii)

$$= T(a, b) \text{ par (i)}$$

ii. Pour vérifier $\varphi(\alpha + \beta) = \varphi(\alpha) + \varphi(\beta)$ (VdP) il suffit de vérifier $\left. \begin{array}{l} \alpha + \beta + \gamma = \pi \\ \alpha, \beta, \gamma \in [0, \pi] \end{array} \right\} \Rightarrow \varphi(\alpha) + \varphi(\beta) + \varphi(\gamma) = 0$

car si $\alpha, \beta \in [0, \pi]$ et $\alpha + \beta \in [\pi, \pi]$ alors

$$\begin{aligned} \varphi(\alpha) + \varphi(\beta) &= -\varphi(-\gamma) = -\varphi(-\gamma) = \varphi(\alpha + \beta) \\ \gamma &= \pi - (\alpha + \beta) \in [0, \pi] \end{aligned}$$

si $\alpha, \beta \in [0, \pi]$ et $\alpha + \beta \in [0, \pi]$ alors

$$\varphi(\alpha + \beta) = -\varphi(\pi - (\alpha + \beta)) = -\varphi(\pi - \alpha) - \varphi(\pi - \beta) = \varphi(\alpha) + \varphi(\beta)$$

$$(\pi - \alpha) + (\pi - \beta)$$

si $\alpha, \beta \in \mathbb{R}$ au pire $\left\{ \begin{array}{l} \alpha = m \frac{\pi}{2} - \alpha_0 \\ \beta = n \frac{\pi}{2} - \beta_0 \end{array} \right.$ $\alpha_0, \beta_0 \in [0, \pi]$: $\varphi(\alpha + \beta) = -\varphi(\alpha_0 + \beta_0)$

$$\begin{aligned} &= -\varphi(\alpha_0) - \varphi(\beta_0) \\ &= \varphi(\alpha) + \varphi(\beta). \quad \square \end{aligned}$$

VIII. Démonstration du lemme D

$$\text{(i)} \quad \text{Si } a+b=1 \text{ on a } G(a,b) = aH(a) + bH(b) - \underbrace{(a+b)H(a+b)}_{\text{multiplication}} = aH(a) + bH(b)$$

$\underbrace{ \text{additive} }_{\text{additive}}$ $\underbrace{ \text{affine} }_{\text{affine}}$ $\underbrace{ H(1)=0 }_{\text{H(1)=0}}$

$$\text{et } G(ab) = aU\left(\frac{a}{ab}\right) + bU\left(\frac{b}{ab}\right) = aU(a) + bU(b).$$

$\uparrow \text{def de } U$

Par différence on obtient bien $a h(a) + b h(b) = 0$.

$$\text{(ii)} \quad h(a) + h(b) - h(ab) = \underbrace{U(a) + U(b) - U(ab)}_{\text{lemme B}} + \underbrace{H(a) + H(b) - H(ab)}_{\text{multiplicative}}$$

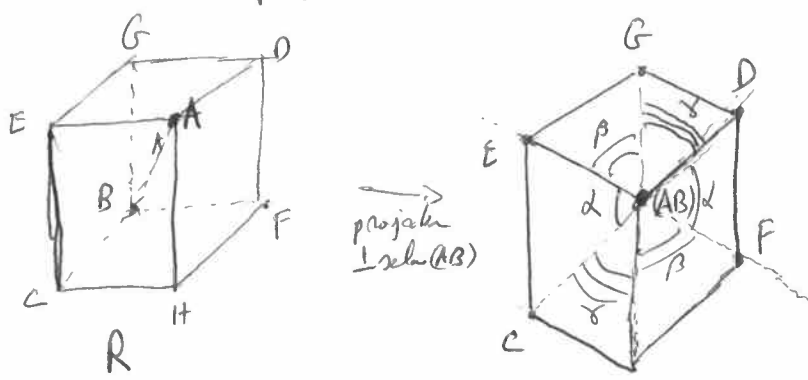
□

Démonstration du lemme E

On considère un parallélépipède rectangle R de diagonale AB, CD, EF et GH ;

vu dans l'arce de la diagonale (AB) on obtient l'image d'un hexagone :

C'est la projection orthogonale de ce parallélépipède le long de sa diagonale (AB) :



R se décompose en six tétraèdres de côté commun AB :

$ABCE, ABEG, ABGD, ABDF, AGFH$ et $ABHC$ qui se projettent sur les triangles formés par les diagonales de l'hexagone.

Les angles α, β et γ sont les angles dièdres de l'arce commune AB.

Ces six tétraèdres sont homothétiques à $T(a,b)$ que ils vérifient la formule (cf. qui prouve)

$$T = \sum_{i=1}^6 p_i \varphi(\theta_i) \text{ où } p_i \text{ et } \theta_i \text{ sont les barycentres et angles dièdres de la } i^{\text{e}} \text{ arce de } T$$

Par compensation des angles (les angles dièdres des autres arces que AB contribuent au résultat l'égalité des β/γ) :

$$0 = [R] = [ABCCE] + [ABEG] + [ABFD] + [ABFH] + [ABHC]$$

$$= AB (\varphi(\alpha) + \varphi(\beta) + \varphi(\gamma) + \varphi(\alpha) + \varphi(\beta) + \varphi(\gamma))$$

$$\text{D'où } \varphi(\alpha) + \varphi(\beta) + \varphi(\gamma) = 0 \text{ dans } \beta/\gamma. \quad \square$$

(En effet, si $\theta_1 + \theta_2 = \frac{\pi}{2}$ alors

$$\varphi(\theta_1) + \varphi(\theta_2) = (\tan \theta_1) h(\sin^2 \theta_1) + (\tan \theta_2) h(\cos^2 \theta_2)$$

$$= (\tan \theta_1) h(\sin^2 \theta_1) + (\tan \theta_2)^{-1} h(\cos^2 \theta_1)$$

$$= \frac{1}{\tan \theta_1 \tan \theta_2} ((\sin^2 \theta_1) h(\sin^2 \theta_1) + (\cos^2 \theta_1) h(\cos^2 \theta_1)) = 0 \text{ par lemme D(i)}$$

$$\left[\theta_1 + \theta_2 = 0 \Rightarrow \varphi(\theta_1) + \varphi(\theta_2) = 0 \right]$$